

## 作並地区滑り止め試験舗装中間報告

東北地建仙台技術事務所 小野末雄  
○小林武

東北のような寒冷地では、冬の間車がテーンをかけて走るため舗装表面のマモウに悩まされてきた。そこで、アスファルト舗装の表層に使われているトペカ、アスマルはタイヤチエーンによるマモウを少なくするためアスファルト量およびフィラーフーを従来より多くして密なものにした。

このため、この寒冷地タイプの路面はマモウに強くなつたが、車体滑りやすくなつたといふ声が現場から出てきた。そこから昭和41年度から仙台技術事務所で調査を始めた。

### 1 方針

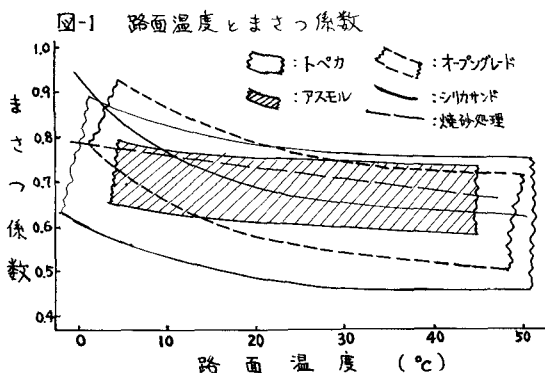
問題を次の三段階にわけて進めていくことにした。

- (1) 東北地建管内の各種舗装のすべり抵抗の実測データを集め、本当に滑りやすいのかどうか、どういう条件の時に滑りやすい状態になるのかをつかむ。
- (2) 配合の面、または工法の面ですべり抵抗を減らすには、どの要因を改良してやれば良いのかを、実験計画の手法を用いて室内実験および現地の試験舗装により明らかにする。
- (3) 最後に、どういう条件の時に、どれくらいのすべり抵抗にすると良いのか。耐マモウ性を損なうことなく、滑りを減少させるにはどういう配合・施工にすれば良いのか、一般的な基準を作成したい。

### 2 管内アスファルト舗装のすべり抵抗値

昭和41年9月より、アスファルト舗装の14工種60近くの地点で、スタンレー(英國製 Portable Skid Resistance Tester)により継続的に調査を行なつてある。測定はすべて湿潤状態で行なつてあるが、主な調査結果を箇条書きにすると次のようになる。

- (1) アスマルと焼却処理を除き、各種工法とも季節により大きく変動している。
- (2) どの工種もまとめて係数は0.5~0.6以上であるが、トペカだけは0.5を下回るもののがトペカ全体のデータの1~2割に達する。
- (3) 路面温度とまとめて係数の関係は図-1のようであり、温度が高くなるとほどほど横ばい状態となる。
- (4) 施工後の経時や配合の違いによるとまとめて係数の傾向は明らかでなかった。したがって、トペカはある条件の下では、滑りやすい路面になるので、その原因の追求と対策が必要である。



### 3. 室内実験

アスファルト舗装のすべりに影響する要因が何であるかは、モリしたことはわかっていないが、一般には、アスファルトの量と質、 $F_i/A$ （骨材およびフィラー中のアスファルト量の比）、粒度、骨材の形状と質、締め固め圧と温度、養生および施工法、施工時期等が考えられる。このうち室内実験として取り上げた因子と水準は次の表-1のとおりである。

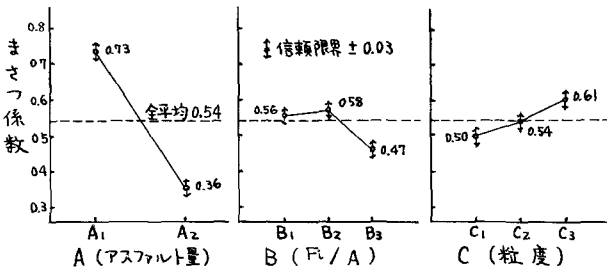
これを表-2の直交配列表 L<sub>8</sub> に割りつけ 16種類の配合で実験を行なった。供試体はアムスラーで締め固め 24時間水中養生の後、スタンレーで湿润状態のままで係数を測定した。

データを分散分析した結果、アスファルト量、 $F_i/A$  および粒度が大きいことがわかる。これらのままで係数への効果をグラフにすると図-2 のようになる。これによると、アスファルト量と  $F_i/A$  を大きくした寒冷地タイプの舗装は普通タイプより滑りやすくなっていることがある。

表-1 室内実験の因子と水準

因子	水 準	
A: アスファルト量	A <sub>1</sub> : 8%	A <sub>2</sub> : 10%
B: $F_i/A$	B <sub>1</sub> : 1.0	B <sub>2</sub> : 1.35
C: 粒 度	C <sub>1</sub> : 下限 (トペカ粒度範囲を表すか横曲線に対して) C <sub>2</sub> : 中央 C <sub>3</sub> : 上限	
D: 締め固め温度	D <sub>1</sub> : 90 °C	D <sub>2</sub> : 110 °C
E: ハイドロ剤の添加 (デハイドロ)	E <sub>1</sub> : 0%	E <sub>2</sub> : 0.3%

図-2 室内実験の要因効果のグラフ



### 4 試験舗装の計画

室内実験の結果を確認し、更に施工時期による影響、ままで係数の経年変化を実地に把握するために、仙台工事区務所管内の国道48号線（宮城県宮城郡宮城町作並）で厚さ 3 cm のトペカのオーバーレイを試験施工することにした。

#### 4-1 因子と水準

室内実験で有効となつた因子（アスファルト量・ $F_i/A$  粒度）の他に、土木研究所とも協議のうえ、新たにアスファルト針入度、粗骨材の質（硬さ）および施工時期の 3 因子を取り上げた。

各因子とも 2 水準とし、これを直交表 L<sub>8</sub> に割りつけ表-2 に示す 8 種類の配合を現地におこした。

施工時期は 7 月と 10 月にした。7 月は施工後すぐにフランシエを受けた時期として、10 月は施工後にフランシエを受けない時期として選んだものである。これにより、フランシエを受けた路面と受けない路面とのすべり抵抗に対する差を知ることができる。

#### 4-2 現地わりつけ

現地舗設は 1 配合延長 40 m を上り下り車線にそれを施工するのだが、交通処理および施工の便利を考えて図-3 に示すように配列・施工することにした。

表-2 試験舗装の配合表

配合 NO	A アスファルト量 %	B $F_i/A$	C 粒度	D アスファルト 針入度	E 粗骨材	F 施工 時期
1	8	1.0	下限	60~80	硬岩	7月
2	9.5	1.5	上限	"	"	
3	8	1.0	上限	"	軟岩	
4	9.5	1.5	下限	"	"	
5	8	1.5	下限	100~120	硬岩	10月
6	9.5	1.0	上限	"	"	
7	8	1.5	上限	"	軟岩	
8	9.5	1.0	下限	"	"	

### 4-3 調査項目

東北地方建設局共通示様書にもとづいて施工および品質管理を行なつた外、すべり抵抗の測定、マモリ試験、気象観測および交通量観測を継続して実施す。すべり抵抗の測定は路面を湿润状態にして、次の3方法で行なう。

- (1) スタンレー法、携帯用すべり抵抗試験器
- (2) 加速度計法：携帯用路面すべり計、(ハネ代製作所製 MK-1型)で車速は30km/hr と50km/hr とする。
- (3) 土研式すべり計法：土木研究所舗装研究室の路面試験車SRM-1型により車速は30km/hr, 40km/hr, 50km/hr, 60km/hr とする。

調査時期は施工後、1日目・1週目・1ヶ月・2ヶ月・3ヶ月以下適宜実施す。

## 5. 施工経過

### 5-1 材料

表-3 骨材試験成績表

種別	硬岩	軟岩	粗砂	細砂
产地	高館産	相馬産	阿武隈川産 瀬戸瀬川産	瀬戸瀬川産
号数	6号	7号	6号	7号
比重	2.612	2.559	2.686	2.628
吸水量%	3.4	4.5	1.4	3.4
単位体積重量t/m <sup>3</sup>	1.472	1.449	1.652	1.507
スリーリング量%	15.7	18.7	26.7	32.6
軟石量%	0	0	0	0
耐久性%	10.6	—	5.5	—
ハリ% ナリ%	0	—	100	—

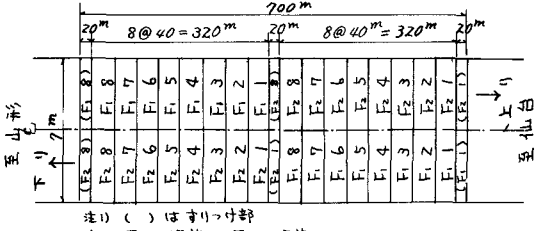
表-4 合材のマーシャル安定度試験結果表

配合 No.	計 算 量 %	供試体 密度 g/cm <sup>3</sup>	理論 密度 g/cm <sup>3</sup>	27mL 容積率 %	空隙率 %	飽和度 %	安定度 kg 100mm	70-値 kg/mm	備考
1 8	2.307	2.411	180	4.3	80.7	862	56		
2 9.5	2.244	2.348	20.8	4.4	82.5	662	66		
3 8	2.403	2.403	17.3	6.7	69.2	708	24		
4 9	2.320	2.368	20.4	2.0	91.2	526	100以上 安定度は 限界強度		
5 8	2.334	2.408	18.2	3.2	85.3	666	72		
6 9.5	2.198	2.346	20.4	6.4	76.3	606	27		
7 8	2.228	2.402	17.4	9.2	70.6	688	28		
8 9	2.319	2.374	20.4	2.3	89.8	580	80		

### 5-4 マーシャル安定度試験結果

プラント吐出口で採取した合材によるマーシャル安定度試験結果は表-4 のとおりである。これでわかるように、配合は実験計画によつてわりつけたのであるが、各々最良の合材とはならない。

図-3 鋪設平面図



注1) ( ) はすりつけ部  
注2) F1は7月施工, F2は10月施工

使用した骨材は表-3に掲げたとあり。

なお アスファルトはシェル石油製、石粉は宮城タンカル製である。

### 5-2 施工温度

アスファルト温度 160~165°C

骨材加熱温度 230~250°C

ホットビン(砂)温度 200~220°C

合材出発時温度 135~180°C

合材到着時温度 138~176°C

敷均し温度 110~135°C

マカダム転圧開始温度 80~100°C

タイヤローラー 減速 40~60°C

### 5-3 No.4 と No.8 のAs量の変更

No.4の合材がグースアスファルト状で、タイニッシュアーチ施工困難となつたので、検討のうえ、アスファルト量を9.5%から9.0%に下げたところ施工できた。No.8も同じ処置をとつた。したがつて、アスファルト量の水準は8%と9.25%を考えることになる。

## 6 調査と解析

### 6-1 まさつ係数の測定データ

表-5にスタンレー法による、現在までの測定データを掲げてある。他の方法によるデータもほぼ同様の傾向を示している。

今回得られたデータによつて、3測定法の相関を調べたところ、どれも0.7以上の相関係数になり、直線式により相互に換算をもよこしが確かめられた。

### 6-2 路面温度による測定値の補正

アスファルト舗装の路面のすべり抵抗は様々な条件によって影響されるが、ここに路面温度の影響の大さいことは季節によつてまさつ係数が大きく変化することでも知らかれている。表-5においても配合によつてまさつ係数が違うことはもちろんだが、路面温度と経時変化の影響が入つてゐることが十分に予想される。そこで、配合による変動を分析するためにはデータを同一路面温度時のまさつ係数にそろえなければならない。

このため7月施工分の1日、1週、1ヶ月のスタンレー法のデータを用いて、路面温度と施工後の経時数Tとまさつ係数μの重相関回帰の計算を行なつたところ、次のような結果を得られた。

- (1)  $\mu$ とTとの重相関係数は0.543であり高度に相関性がある。
- (2)  $\mu$ とTの偏相関係数は-0.376(マイナスは負の相関つまり温度が上るとまさつ係数が減少することを示す)で高さに相関あり、 $\mu$ とTは0.108で相関なしわかった。
- (3) 3者の相関式は  $\mu = -0.00756t + 0.00761T + 0.847$

ここに、Tは施工後1日目は1、1週目は3、1ヶ月は5とした。

となる。この式は他の測定法および他の経時点においても良くあてはまることが確かめられた。すなわち、施工後の経時数よりも路面温度がまさつ係数に大きく影響することがわかつた。温度補正の方法は、0.00756の勾配の直線式によることにし、標準温度は東北地方の実情を考へて20°Cに決めた。したがつて補正式は次のようになる。

$$\text{補正まさつ係数 } \mu' = \mu + 0.00756(t - 20)$$

### 6-3 まさつ係数の経時変化

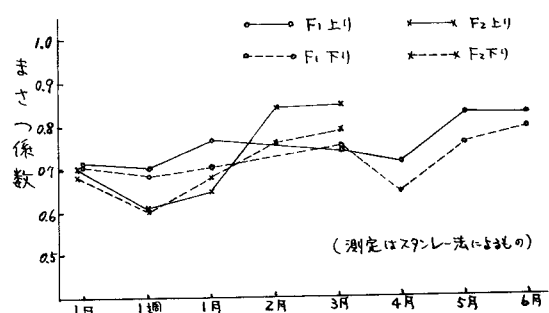
配合No.1-8を平均して考えると、各測定法に対して図-4のような図が得られる。これは経時変化から路面温度の変化による分を除いたものと考えられ、非常に複雑な変化をしてしまつことがある。まだ施工後半年も経ないのではつきりしたことはいえないが、大まかに見て次のようなことが推察される。

- (1) まさつ係数は施工後1週目から1ヶ月ま

表-5 スタンレー法によるまさつ係数(単位平均)

F	路面前期経時	配合							
		1	2	3	4	5	6	7	8
F <sub>1</sub> (24~50°)	1日	0.60	0.58	0.72	0.34	0.64	0.72	0.67	0.56
	1週	0.64	0.62	0.62	0.40	0.56	0.58	0.64	0.47
7 月 施 工	1月	0.75	0.71	0.79	0.60	0.70	0.76	0.77	0.61
	3月	0.78	0.78	0.83	0.79	0.76	0.76	0.77	0.72
	4月	0.73	0.72	0.80	0.72	0.75	0.77	0.77	0.74
	5月	0.94	0.93	1.03	0.88	0.91	0.99	1.02	0.89
	6月	1.02	0.98	1.01	0.82	0.88	0.94	0.98	0.90
F <sub>2</sub> (10~23°)	1日	0.77	0.79	0.87	0.48	0.67	0.88	0.81	0.63
	1週	0.68	0.64	0.74	0.40	0.54	0.73	0.81	0.55
9~15 月 施 工	1月	0.75	0.72	0.78	0.67	0.72	0.78	0.80	0.66
	2月	0.98	0.91	1.03	0.85	0.90	0.99	1.01	0.95
	3月	1.00	0.98	1.06	0.85	0.88	0.94	0.98	0.89
	4月								
	4日								

図-4 補正データによるまさつ係数の経時変化



たりまでは減少し、後少しづつ増加し落ち着いてくるという傾向が見える。これは施工時路面にある石油分が次第にとれてすべり抵抗を小さくし、次に車輪による路面の軟化のためにまさつ係数が漸増すると解釈される。

(2) 加速度計法では現われてこないが、スタンレー法では12月～1月にまさつ係数が急増している。

上り下りでの差はないがタイヤチャーンによるマモウのせかと思われる。

(3) 配合の違いによるまさつ係数のバラツキは施工後1ヶ月半ではまだ大きい（標準偏差平均0.1）

が、それ以降はやや小さくなる。そして各月からると再び増加していく。つまりラッシュやマモウ等の路面状態の変化によってバラツキが周期的に変動すると推測される。施工時期によるバラツキの差は明瞭ではない。

#### 6-4 各要因の効果

各要因の効果を知るための分散分析は、施工時期毎と施工時期も因子に含めた場合について実施したが、表-6はスタンレー法データを使、各分散分析結果表の一部である。他の測定法の結果も大同小異であった。

各因子毎に簡単に傾向を述べる。

(1) アスファルト量は、室内実験と同じく現地試験においても、まさつ係数に大きく影響している。しかし、影響度は時間の経過と共に小さくなっていくようである。来夏に再び寄与率が増すことを考えらる。一般にアスファルト量が増すと滑りやすくなる。

(2)  $F_i/A$ については、施工後一週目までは少しきつい。しかしこれはスタンレー法の場合のみで、他の測定法ではほとんど影響はない。

(3) 粒度については、最も大きい寄与率(20~50%)を常に保っていることから、すべり抵抗を考える時に第1に考えるべき要因である。上限粒度、または粗さといふより滑りにくくなることがわかり、下限粒度よりも、まさつ係数は0.07~0.15大きい。

(4) アスファルト針入度は今回取り上げた水準に関しては大きな影響はないようである。

(5) 粗骨材の質(硬さ)も、施工後しばらくは大きいといふが思ったほどではなかった。今回取り上げた碎石の石質の差が小さかったのも考えられる。

(6) 施工時期はかなりのウェイトをもつ。具体的には、真夏における路面の軟化および冬季のタイヤチャーンによるマモウが影響していると思われる。

(7) 施工時期と他因子の交互作用は、アスファルト量(A×F)と粒度(C×F)が少し出ている。7月施工では10月施工にくらべアスファルト量のウェイトがやや大きくなり、相対的に粒度のそれは小さくなる。

また、各因子の任意の水準の組合せの時のまさつ係数の推定式も求まるが、ここでは省略する。

表-6 分散分析結果(スタンレー法)

項目	経時	1日目	1週目	1ヶ月	3ヶ月
平均まさつ係数	0.708	0.653	0.704	0.789	
まさつ係数の $\sqrt{V}$	0.125	0.155	0.076	0.074	
各因子の寄与率					
A(アスファルト)	13.8 **	18.2 **	18.4 **	8.0 *	
B( $F_i/A$ )	18.4 **	4.0 **	—	0.6	
C(粒度)	39.8 **	36.7 **	30.0 **	14.2 **	
D(針入度)	—	2.2 *	—	9.7 *	
E(石質)	20 *	8.1 **	—	—	
F(施工時期)	—	12.3 **	19.8 **	23.6 **	
交互作用					
A×F	—	1.7 *	—	—	
B×F	—	1.0 *	—	1.5	
C×F	—	3.0 *	—	2.2	
D×F	—	—	—	—	
E×F	—	—	—	—	
誤差	24.0	12.8	31.8	40.2	

注1)寄与率とはまさつ係数の変動の原因として各因子の占める割合(%)

注2)寄与率の右肩の

\* -----非常に大きい因子(1%寄与)

\* -----大きい因子(5%寄与)

印なし-----あまり大きい因子

-----全くない因子

## 6-5 滑らない路面の設計

滑らない路面の限界まさつ係数は一般に0.40~0.50の間の値と考えられていて、線形にもよるが予想される高い路面温度の時に、最高制限速度に対してこの値以上であればよいわけである。

実際にはこの他、施工後の経年変化、フラッシャやヤマモウ等による変化を考え、最も危険な時点の配合条件（アスファルト量、 $F_y/A$ 、粒度）アスファルト量に対する限界まさつ係数の推定式を使って、限界まさつ係数に対する配合限界を知るわけである。この場合限界まさつ係数は、使用する推定式の路面温度、車速に換算しなければならない。

たとえば、図-5のような図が書けるだろ。

## 6-6 マモウ量の試験と解析

舗装面より切り取った供試体によつてラベリング試験を行なつたところ表-7の結果を得た。そして、まさつ係数と同様に分散分析を行なつた結果、図-6に示すように、アスファルト量、 $F_y/A$ 、粒度、粗骨材の質の4因子が有意となつた。その傾向はまづいことに、粗骨材の質を除いてまさつ係数と逆になつてあり、滑りにくさの両立が難しいことを示していい。

表-7 ラベリング試験結果

配合	7月施工		10月施工	
	上り	下り	上り	下り
1	1.37	1.31	1.24	0.79
2	2.05	2.38	1.39	1.14
3	4.28	3.57	5.67	2.48
4	1.23	1.33	0.91	0.89
5	1.07	1.09	0.76	1.03
6	2.73	3.53	1.37	5.20
7	3.67	3.62	1.54	4.77
8	1.18	1.80	0.82	1.99
平均	2.23	2.25		

図-5 限界まさつ係数を保つ配合限界線

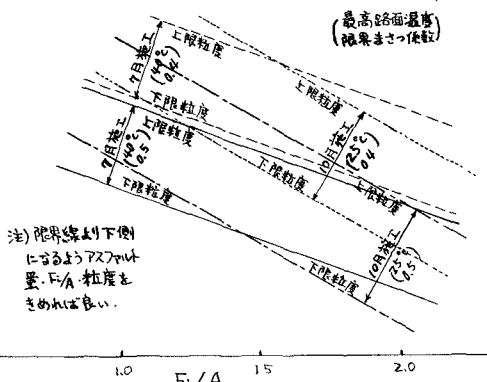
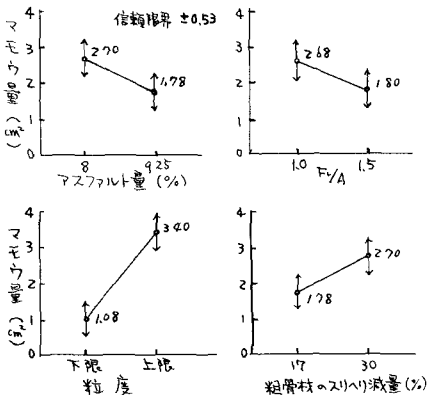


図-6 マモウ量の要因効果のグラフ



## 7. おわりに

以上、試験施工の概略を説いたが、今後とも、試験測定を重ね、耐マモウ性を考慮した滑らない路面の設計指針を作成したいと思っている。

今回の試験舗装にあたつて、その推進にあたられた清水博道路計画課長、快く現場を提供してくれた仙台工事事務所、ならびに面倒な施工を完遂された日本舗道(株)の方々に、また、終始御指導くださいました土木研究所舗装研究室に厚く御礼申し上げると共に、これからもよろしく御協力、御指導くださいようお願いいたします。